УДК 621.313

## ДИНАМИЧЕСКИЕ ХАРАКТЕРИСТИКИ СИНХРОННОГО ГИБРИДНОГО ЭЛЕКТРОДВИГАТЕЛЯ

О.П. Муравлев, А.И. Верхотуров, В.В. Големгрейн

Томский политехнический университет E-mail: Golemgrein@mail2000.ru

Проведено математическое моделирование переходных электромеханических процессов. Оценено влияние параметров двигателя на динамические характеристики. Приведены рекомендации по разработке и созданию синхронных гибридных двигателей, обладающих высокой динамической устойчивостью работы.

Современное состояние и перспективы развития электроприводов с повышенными эксплуатационными требованиями неразрывно связаны с разработкой и созданием синхронных гибридных двигателей (СГД), объединяющих в единой конструкции положительные свойства синхронных реактивных и магнитоэлектрических машин [1, 2].

В СГД основную долю мощности вырабатывает синхронно-реактивная машина, как наиболее дешевая и простая по конструкции, а энергия постоянных магнитов используется для повышения энергетических и улучшения эксплуатационных характеристик.

Гибридные двигатели можно изготовлять на базе серийных асинхронных (конструкция статора) и синхронно-реактивных (конструкция ротора) электродвигателей, что существенно облегчает задачу создания таких машин.

При разработке гибридных двигателей важно знать динамические характеристики и синхронизирующие свойства СГД. Поэтому вопрос о влиянии параметров и угла сдвига полюсов магнитоэлектрической машины относительно полюсов синхронно-реактивной машины на динамическую устойчивость и синхронизирующие свойства гибридного двигателя особенно актуален.

Для решения поставленной задачи при общепринятых допущениях разработана математическая модель для расчёта динамических режимов СГД

$$U_{d} = \frac{d\psi_{d}}{dt} + \rho i_{d} - \psi_{q} \omega,$$

$$U_{q} = \frac{d\psi_{q}}{dt} + \rho i_{q} + \psi_{d} \omega,$$

$$0 = \frac{d\psi_{D}}{dt} + r_{D} i_{D},$$

$$0 = \frac{d\psi_{Q}}{dt} + r_{Q} i_{Q},$$

$$M = H \frac{d\omega}{dt} + M_{c},$$
(1)

где потокосцепления обмоток записываются следующим образом:

$$\psi_{d} = i_{d} x_{d_{0}} + i_{d} x_{3} + i_{D} x_{dD} + \varepsilon \cos \lambda;$$

$$\psi_{q} = i_{q} x_{q_{0}} + i_{d} x_{3} + i_{Q} x_{qQ} + \varepsilon \sin \lambda;$$

$$\psi_{D} = i_{D} x_{DD} + i_{d} x_{dD} + \varepsilon \cos \lambda;$$

$$\psi_{Q} = i_{Q} x_{QQ} + i_{q} x_{qQ} + \varepsilon \sin \lambda,$$
(2)

а электромагнитный момент определяется из выражения

$$M = \psi_d i_q - \psi_q i_d. \tag{3}$$

В ур. (1—3) приняты следующие обозначения:  $U_d$ ,  $U_q$  — напряжения обмотки статора по осям d и q;  $i_d$ ,  $i_q$ ,  $i_D$ ,  $i_Q$  — токи в обмотках статора и эквивалентных роторных обмотках (ЭРО);  $\psi_d$ ,  $\psi_q$ ,  $\psi_D$ ,  $\psi_Q$  — потокосцепления обмотки статора и ЭРО;  $\rho$ ,  $r_D$ ,  $r_Q$  — активные сопротивления обмотки статора и ЭРО;  $\chi_d$ ,  $\chi_q$ ,  $\chi_q$ , — эквивалентные индуктивные сопротивления обмотки статора СГД;  $\chi_d$ ,  $\chi_q$ , — сопротивления взаимной индукции между обмотками статора и ротора;  $\chi_D$ ,  $\chi_Q$ , — полные индуктивные сопротивления ЭРО;  $\varepsilon$  — степень возбужденности; H — инерционная постоянная вращающихся масс.

После приведения уравнений к виду, удобному для численного интегрирования, уравнения (1-3) можно решить, например, методом Рунге-Кутта второго порядка.

Важным параметром, характеризующим запас гибридного двигателя по динамической устойчивости, рис. 1, 2, является момент выхода из синхронизма  $M_{\text{вых}}$  (максимальный момент сопротивления, набрасываемый на вал двигателя, при котором двигатель еще не выходит из синхронизма).

Для определения  $M_{\text{вых}}$  использовался метод наброса нагрузки [3]. Для набрасываемого момента сопротивления  $M_{\text{н}}$  путем постепенного увеличения амплитуды момента находились два его граничных значения  $M_{\text{н}1}$  и  $M_{\text{н}2}$ . Эти моменты должны отличаться друг от друга на заданную величину (не более чем на 1%) и удовлетворять условию, чтобы СГД работал устойчиво при меньших моментах ( $M_{\text{н}1}$ ) и выпадал из синхронизма при больших моментах ( $M_{\text{н}2}$ ). За момент выхода из синхронизма принимался меньший момент ( $M_{\text{н}1}$ ).

В качестве возмущающего воздействия принималось скачкообразное изменение момента на валу. До момента наброса нагрузки СГД работал в режиме холостого хода.

На практике встречаются возмущения в виде одного или ряда импульсов (кратковременная нагрузка двигателя). При возмущении двигателя посредством прямоугольного импульса нагрузки в нем может варьироваться как время действия, так и величина момента нагрузки.

При импульсном набросе нагрузки величина момента выхода из синхронизма обозначена как  $M_{\scriptscriptstyle 
m BMX~IM}$ .

Синхронные гибридные двигатели рассчитываются на прямой пуск от полного напряжения сети. СГД работает при пуске как асинхронный и должен развить скорость, близкую к синхронной, и под действием синхронизирующего момента войти в синхронизм.

Условия втягивания в синхронизм характеризуются входным моментом  $M_{\rm ex}$ , равным максимальному моменту сопротивления на валу, при котором двигатель достигает синхронной скорости, работая от сети с номинальным напряжением и частотой. Для этого определялись два граничных значения момента нагрузки, отличающиеся друг от друга на фиксированную величину (не более 1%). При этом двигатель должен втягиваться в синхронизм при меньшем значении  $M_{\rm H}$ , либо при большем моменте он продолжает работать в установившемся асинхронном режиме. Исходя из этого, входной момент принимался равным меньшему из указанных  $M_{\rm H}$ .

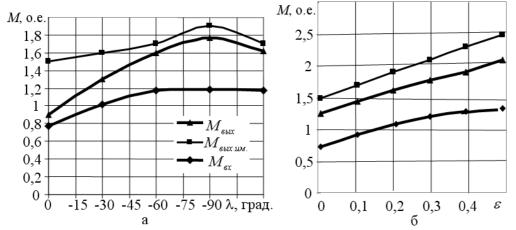
На рис. 1, 2 представлены в относительных единицах зависимости динамических характеристик от параметров СГД. При исследованиях изменялся один из параметров, остальные оставались неизменными и принимали следующие значения:

$$\lambda = -90^{\circ}; x_d / x_q = 6; x_{q1} / x_{d1} = 2,5;$$
  
 $x_{d1} / x_d = 0,1; \rho = 0,03; \varepsilon = 0,3; H = 200.$ 

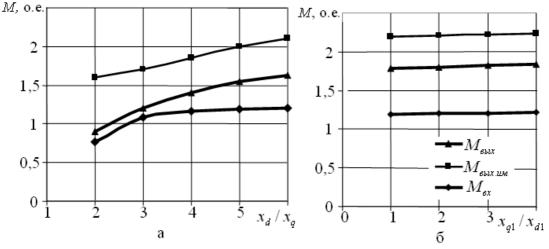
Длительность импульса при набросе нагрузки принималась 40 o.e.

Наличие максимумов в кривых моментов (рис. 1, a) объясняется тем, что при  $\lambda$ = $-90^{\circ}$  отношение эквивалентных индуктивных сопротивлений по продольной и поперечной осям СГД наибольшее и угловые характеристики синхронно-реактивной и магнитоэлектрической машин согласуются наилучшим образом.

С ростом степени возбужденности  $\varepsilon$  (рис. 1,  $\delta$ ) моменты выхода из синхронизма и синхронизирующий момент растут за счёт роста магнитоэлек-



**Рис. 1.** Зависимость динамических характеристик от: а) угла между осями синхронно-реактивной и магнитоэлектрической частей СГД и б) степени возбужденности



**Рис. 2.** Зависимость динамических характеристик от отношения индуктивных сопротивлений: а) синхронно-реактивной части, б) магнитоэлектрической части

трических составляющих этих моментов (как в синхронных двигателях с постоянными магнитами).

Рост отношения индуктивных сопротивлений по продольной и поперечной осям, рис. 2, a, увеличивает отношение эквивалентных индуктивных сопротивлений СГД и способствует увеличению динамической устойчивости двигателя.

## Выводы

- 1. Для синхронного гибридного двигателя существует такое взаимное расположение осей полюсов магнитоэлектрической и синхронно-реактивной машинами ( $\lambda$ =-90°), при котором двигатель обладает наибольшим запасом по динамической устойчивости и наилучшими синхронизирующими свойствами.
- 2. Степень возбужденности оказывает влияние на динамические характеристики СГД такое же,

## СПИСОК ЛИТЕРАТУРЫ

1. Безрученко В.А., Галтеев Ф.Ф. Итоги науки и техники. Сер. Электрические машины и трансформаторы. — М.: ВИНИТИ, 1982.-T.5.-115 с.

- как и в синхронных двигателях с постоянными магнитами.
- 3. Рост отношения индуктивных сопротивлений по продольной и поперечной осям  $x_d/x_q$ . способствует увеличению динамической устойчивости и улучшению синхронизирующих свойств.
- 4. Характер границ динамической устойчивости при импульсной нагрузке в зависимости от параметров гибридного двигателя совпадает с режимом наброса нагрузки бесконечной длительности, а разница заключается лишь в величине момента выхода из синхронизма при различных длительностях импульса нагрузки.
- 5. Момент выхода из синхронизма при одинаковых параметрах двигателя превышает момент входа в синхронизм вследствие возникновения динамического момента, действующего согласно с моментом двигателя при замедлении ротора, и противоположно при ускорении.
- 2. А.с. 1663672 СССР. МКИ Н02К 21/46. Синхронный электродвигатель с постоянными магнитами / А.И. Верхотуров, В.Л. Горобец, А.С. Куминов. Опубл. 1991, Бюл. № 6.
- 3. Сипайлов Г.А., Кононенко Е.В., Хорьков К.А. Электрические машины (специальный курс). М.: Высшая школа, 1987. 287 с.

VΠΚ 681 5·677 744